

مقاله پژوهشی

تهیه سامانه امولسیون ژل سرد با استفاده از پیکرینگ‌های کمپلکس ایزوله پروتئین سویا- صمغ دانه ریحان به‌عنوان جایگزین چربی در خامه

سیما ناجی طبسی^۱ - الهام مهدیان^۲ - اکرم آریان‌فر^۲ - سارا ناجی طبسی^{۳*}

تاریخ دریافت: ۱۳۹۹/۰۱/۱۸

تاریخ پذیرش: ۱۳۹۹/۰۴/۲۸

چکیده

مصرف زیاد چربی خطر ابتلا به بیماری‌های مختلفی را افزایش می‌دهد. اما به دلیل نقش چندگانه چربی در فرآورده‌های غذایی، حذف یا کاهش آن منجر به ایجاد خصوصیات کیفی نامطلوب می‌گردد. بنابراین، در این تحقیق استفاده از ساختار امولسیون ژل سرد پایدارشده با استفاده از پیکرینگ‌های ایزوله پروتئین سویا (ISP) و کمپلکس ایزوله پروتئین سویا- صمغ دانه ریحان (ISP-BSG) به‌عنوان جایگزین چربی مورد مطالعه قرار گرفت. ذرات پیکرینگ ISP-BSG به‌ترتیب با نسبت‌های مختلف جرمی BSG:ISP، ۰:۱، ۱:۱، ۱:۲ و ۱:۳ تهیه و به‌ترتیب 1S:0B، 1S:1B، 2S:1B و 3S:1B نامگذاری شدند. بررسی ویژگی‌های امولسیون ژل نشان داد که پوشش دهی سطح قطرات امولسیون توسط نانوذرات جامد S:B یک پوسته سفت و سخت را تشکیل می‌دهد. با افزودن کلسیم کلرید به امولسیون، شبکه‌های امولسیون ژل از قطرات روغن تجمع یافته تشکیل شدند که این ساختار در نمونه‌های 1S:0B و 2S:1B قابل مشاهده‌تر بود. همچنین، نوع و ساختار پیکرینگ به کار رفته بر مقدار حفظ روغن در امولسیون ژل اثرگذار بود. حضور BSG در نسبت مناسب (2S:1B) با ISP باعث ایجاد امولسیون ژل با ثبات تر با استحکام مکانیکی (سختی و قوام) بالاتری شد. با توجه به پایداری و خصوصیات بافتی از بین نمونه‌های امولسیون ژل، دو فرمول 1S:0B و 2S:1B برای تولید خامه با چربی کاهش یافته (۵ و ۱۰٪) استفاده شد. استفاده از درصد‌های بیشتر از ۵ درصد جایگزینی با افزایش آبدانازی خامه همراه بود ($p < 0.05$). اما نوع امولسیون ژل بر میزان آبدانازی تاثیر معنی‌داری نداشت. بیشترین میزان پذیرش کلی با جایگزینی امولسیون ژل 2S:1B با کاهش ۵٪ چربی حاصل شد ($p > 0.05$).

واژه‌های کلیدی: امولسیون ژل، ایزوله پروتئین سویا، ذرات جامد، صمغ دانه ریحان، کمپلکس، جایگزینی چربی.

مقدمه

شود (کاواس و همکاران، ۲۰۰۴). ساختارهای امولسیون ژل از روش‌های تولید محصول کم‌چرب محسوب می‌شوند. امولسیون ژل (امولژل) به ساختارهایی گفته می‌شود که می‌توانند به هر دو شکل امولسیون و ژل وجود داشته باشند. در ساختار امولسیون ژل‌ها، تجمع قطرات پراکنده روغن و یا تشکیل فاز پیوسته امولسیون، باعث تبدیل شدن امولسیون به ژل می‌شود. امولسیون ژل‌ها می‌توانند از طریق تجمع قطرات روغن و یا از طریق فاز آبی امولسیون روغن در آب تشکیل ژل دهند (دیکسون، ۲۰۱۲). پایه امولسیون ژل‌ها عمدتاً پروتئینی است زیرا می‌توانند به‌عنوان امولسیفایر، پایدارکننده و عامل ایجاد ژل استفاده شود. علاوه بر استفاده از پروتئین در ساختمان امولسیون ژل‌ها، می‌توان هیدروکلوئیدها (صمغ‌ها) را جهت افزایش پایداری و ایجاد بافت در سیستم مورد استفاده قرار داد (دیکسون،

چربی‌ها در تغذیه انسان از جایگاه خاصی برخوردار هستند و نقش اصلی آن‌ها در بدن تأمین انرژی است. اما یافته‌های علمی، حاکی از ارتباط مصرف زیاد چربی و افزایش خطر ابتلا به برخی بیماری‌ها مثل سخت شدن دیواره رگ‌ها و بیماری‌های قلبی- عروقی هستند. در پی افزایش آگاهی مردم نسبت به ضررهای مصرف چربی، افزایش چشمگیری در تقاضای محصولات غذایی کم‌چرب به وجود آمده است. اما به دلیل چندگانه بودن نقش چربی در فرآورده‌های غذایی، حذف یا کاهش آن منجر به ایجاد خصوصیات کیفی نامطلوب می‌گردد. بنابراین، لازم است از ترکیباتی به‌عنوان جایگزین چربی استفاده شود تا ویژگی‌های رئولوژیکی، بافت و حسی محصول غذایی کم‌چرب حفظ

(Email: s.najitabasi@rifst.ac.ir

* نویسنده مسئول:

DOI: 10.22067/ifstrj.v17i2.86293

۱ و ۲- به‌ترتیب دکترا و استادیار، گروه علوم و صنایع غذایی، واحد قوچان، دانشگاه آزاد اسلامی، قوچان، ایران
۳- استادیار، گروه نانوفناوری مواد غذایی، موسسه پژوهشی علوم و صنایع غذایی، مشهد، ایران

میسل دهند. با افزودن عوامل حل‌کننده و اتصال دهنده عرضی، مولکول‌های ISP جمع شده و تشکیل ساختارهای متنوعی مثل اجسام کروی کوچک، هیدروژل‌ها و مخلوط‌های پلیمری را می‌دهند (لوچاروانکالو همکاران، ۲۰۱۴).

صمغ دانه ریحان (BSG) دارای خصوصیات جذب سطحی است و قابلیت کاهش کاهش کشش سطحی آب خالص را دارند (ناجی طبعی و رضوی، ۲۰۱۶؛ آسانو و همکاران، ۲۰۱۰). همچنین، کشش بین سطحی در سطح روغن/ آب به‌طور معنی‌داری توسط صمغ دانه ریحان کاهش می‌دهد و اندازه‌گیری کشش سطحی/ بین‌سطحی تأییدکننده جذب صمغ دانه ریحان در تداخلات روغن و آب است. (آسانو و همکاران، ۲۰۱۰). از سوی دیگر BSG قابلیت کاربرد برای تشکیل نانوذرات را داراست. ناجی و همکاران (۲۰۱۷) از این نانوذرات صمغ BSG جهت رسانش گلوکوتایون مورد استفاده قرار دادند.

به‌طور کلی هدف اولیه از انجام این پژوهش، تهیه سیستم‌های امولسیون‌ژل سرد برپایه امولسیون پیکرینگ‌های ایزوله پروتئین سویا و کمپلکس ایزوله پروتئین سویا-صمغ دانه ریحان در نسبت‌های مختلف جرمی پروتئین به پلی‌ساکارید (۱:۰، ۱:۱، ۱:۲ و ۱:۳) و بررسی ویژگی‌های (میزان پایداری، میزان پایداری پس از اعمال تیمارهای حرارتی، ساختار میکروسکوپی، ویژگی‌های بافتی و خصوصیات ویسکوالاستیک) این سیستم در حضور نانوذرات متفاوت است. هدف دوم استفاده از سیستم‌های امولسیون‌ژل با پایداری و خصوصیات مکانیکی مناسب به‌عنوان جایگزین چربی در خامه است.

مواد و روش‌ها

دانه‌های ریحان از یک عطاری در مشهد خریداری شد. اتانول ۹۶٪ از شرکت تقطیر خراسان، ایران تهیه شد. استخراج صمغ از دانه‌های ریحان براساس روش اصلاح شده مطالعات پیشین (ناجی و همکاران، ۲۰۱۶) انجام گرفت. روغن آفتاب‌گردان تجاری جهت تهیه امولسیون‌ها خریداری شد. ایزوله پروتئین سویا از شرکت Shandong Yuxin Bio-Tech Co (چین) (۹۱/۴۵ درصد پروتئین) تهیه شد. سدیم آزید (NaN₃) از شرکت اپلی چم آلمان تهیه گردیدند. سدیم دودسیل سولفات (SDS)، اسید کلریدریک، سدیم هیدروکسید کلسیم، کلسیم کلرید و سدیم کلرید از شرکت مرک آلمان خریداری شد.

تهیه امولسیون ژل

امولسیون اولیه به روش امولسیون پیکرینگ تهیه شد. محلول‌های ISP-BSG در pH ۶ به ترتیب با نسبت‌های مختلف جرمی پروتئین:

(۲۰۰۹). مطالعات متعددی جهت تهیه امولسیون ژل انجام شده است (چن و همکاران، ۲۰۰۰؛ گوارتنی و همکاران، ۲۰۰۴؛ گو و همکاران، ۲۰۱۳؛ گریشکومار و همکاران، ۲۰۱۷).

یکی از روش‌های جدید تشکیل امولسیون، امولسیون پیکرینگ^۱ است که در این مطالعه پایداری امولسیون‌ها توسط ذرات جامد (پیکرینگ‌ها) ایجاد شد. در این روش به جای استفاده از عوامل فعال‌کننده سطحی از ذرات جامد برای پایداری امولسیون استفاده می‌شود. مهمترین مزیت این روش پایداری بالای امولسیون نسبت به به درهم‌ادغام شدن^۲ است. این ذرات در آب و روغن محلول نیستند و بین سطح قرار می‌گیرند. در نتیجه ذرات قادر هستند که امولسیون را از طریق مانع فیزیکی در برابر کوالسنس پایدار کند. برخلاف امولسیفایرهای با وزن ملکولی پایین، جذب ذرات به صورت برگشت‌ناپذیر است و پایداری بالاتری نسبت به امولسیون‌های معمولی دارند (لینک و دراش، ۲۰۱۸).

افزودن یون کلسیم به امولسیون پایدار شده، روشی مناسب برای بهبود شرایط ایجاد ژل است. در حقیقت ریزساختار و خصوصیات مکانیکی امولسیون ژل می‌تواند با تنظیم غلظت یون کلسیم کنترل شود (لاین و همکاران، ۲۰۰۵؛ نانگ و همکاران، ۲۰۱۱؛ یه و تیلور، ۲۰۰۹). از این رو در این پژوهش از نانوذرات ایزوله سویا و کمپلکس صمغ دانه ریحان- پودر ایزوله سویا برای تهیه امولسیون‌ژل به روش سرد استفاده خواهد شد.

سویا یکی از بیشترین گیاهان زراعی در جهان است که از نظر پروتئین (۴۰-۵۰٪)، چربی (۲۰-۳۰٪) و کربوهیدرات (۲۶-۳۰٪) غنی می‌باشد و در نتیجه مورد بحث تحقیقات علمی زیادی قرار گرفته است. دانه سویا مانند اغلب دانه‌های حبوبات دارای چندین پروتئین می‌باشد که اکثر آنها در سلامت‌بخشی و افزایش ارزش تغذیه‌ای غذاها مؤثر می‌باشد. اخیراً، علاقه به ترکیبات سویا و فرآورده‌های تخمیری آن افزایش یافته است که این امر به دلیل خواص ضدسرطانی و فواید سودمندی است که گزارش شده است (مسینا و همکاران، ۱۹۹۴). پروتئین‌های اصلی سویا (بیش از ۸۵٪) شامل گلایسینین و بتاکنانگلایسینین می‌باشد (لیو، ۱۹۹۷). ایزوله پروتئین سویا (ISP^۳) از مهم‌ترین منابع پروتئین تجاری است که استفاده از آن به دلیل ویژگی‌های عملکردی مطلوب در سیستم‌های غذایی، هضم راحت، هزینه پایین و ارزش تغذیه‌ای زیاد گسترش یافته است (علی‌بهایی و همکاران، ۲۰۰۶). ترکیب اصلی ISP شامل گلایسینین^۴ و است که در محیط آبی به شکل کروی می‌باشند که سطح آن هیدروفیلیک و هسته‌ی آن هیدروفوبیک است و می‌توانند تشکیل

4 Glycinin
5 Conglycinin
6 Sodium dodecyl sulphate

1 Pickering
2 Coalescence
3 Isolated soy protein

دمای محیط (۲۵°C) انجام گردید. میزان نیروی تریگر نمونه ۳ گرم بود. پارامترهای بافتی سفتی، قوام و چسبندگی اندازه گیری و مورد بررسی قرار گرفتند (نوربهشت و همکاران، ۲۰۱۸).

بررسی ویژگی های ویسکوالاستیک

آزمون های رئولوژیکی دینامیکی امولسیون ژل ها با استفاده از رئومتر پارافیزیکا (آلمان) مجهز به هندسه مخروط- صفحه در حالت کنترل شده کرنش انجام گرفت. ابتدا ناحیه خطی ویسکوالاستیک (LVE) نمونه ها با انجام آزمون کرنش متغیر در دمای ۲۵°C تعیین گردید. دمای نمونه با استفاده از پلتر کنترل شد و جهت حفظ یکنواختی دما در حالت فعال طی آزمون، نمونه ها با یک ژاکت محافظ (هود اختصاصی دستگاه) پوشیده شدند. پس از قرار دادن نمونه ها بر روی پلتر ۱۰ دقیقه زمان استراحت داده شد تا دمای نمونه به دمای ۲۵°C برسد. آزمون کرنش متغیر در فرکانس ثابت ۱ هرتز و در دامنه کرنش ۰/۱ تا ۱۰۰ درصد به منظور تعیین ناحیه LVE انجام گرفت. با توجه به آزمون کرنش متغیر ناحیه خطی در کرنش ثابت ۰/۵ درصد برای تمامی نمونه انتخاب گردید. آزمون فرکانس متغیر در دامنه فرکانس زاویه ای ۱۰۰-۰/۱ Hz، کرنش ثابت ۰/۵ درصد و دمای ۲۵°C مورد بررسی قرار گرفت. مدول های ذخیره^۴، افت^۴ و زاویه فازی^۵ مورد بررسی قرار گرفتند. جهت برآورد پارامترهای خصوصیات ویسکوالاستیک از نرم افزار فیزیکا رئومتر دیتا آنالیز^۶ (Rheoplus/32 version V3.40) و متلب (۲۰۱۵a) استفاده گردید (ناجی و همکاران، ۲۰۱۷).

تهیه خامه با چربی کاهش یافته در سه سطح

پس از انتخاب نمونه های منتخب سیستم های امولسیون ژل از نظر پایداری، تولید خامه با جایگزینی درصدهای مختلف امولسیون ژل برای کاهش میزان ۵، ۱۰ و ۱۵٪ چربی انجام شد (اروجی و همکاران، ۲۰۱۷).

بررسی خصوصیات خامه

میزان آب اندازی

جهت بررسی میزان آب اندازی خامه، مقدار ۱۰ گرم از نمونه خامه در لوله آزمایشگاهی مدرج قرار داده شد و در دستگاه سانتریفوژ با سرعت ۳۴۶۷ g به مدت ۵ دقیقه در دمای ۲۵ درجه سانتی گراد تحت سانتریفوژ قرار گرفت (اروجی و همکاران، ۲۰۱۷).

پلی ساکارید ۱:۰، ۱:۱، ۱:۲ و ۱:۳ مخلوط و به ترتیب 1S: 0B، 1S: 1B، 2S: 1B و 3S: 1B نامگذاری شدند. جهت تهیه پیکرینگ از ذرات جامد ISP و ISP-BSG استفاده شد که براساس روش ناجی طبسی و همکاران (۲۰۱۹) تولید شدند. برای تهیه امولسیون، روغن آفتابگردان (۶ میلی لیتر) به آرامی به محلول ذرات جامد (۲۰ میلی لیتر) تحت هموژنایزر (اولترا توراکس تی ۲۵، IKA، آلمان) با سرعت ۶۰۰ دور در دقیقه اضافه شد. بعد از این که اضافه کردن روغن کامل شد، همگن سازی در ۱۶۰۰۰ دور در دقیقه به مدت ۲ دقیقه ادامه یافت. جهت تهیه امولسیون ژل سرد به تمام نمونه های امولسیون پیکرینگ تهیه شده نمک کلسیم کلرید (۱۰ mM) اضافه شد. سپس عمل همزدن با سرعت بالا برای پخش شدن کلسیم در سیستم امولسیون انجام شد (کوهن و همکاران، ۲۰۱۰). تهیه امولسیون ژل به روش سرد با افزودن نمک کلسیم کلرید انجام شد.

پایداری امولسیون ژل

ساختار امولسیون ژل پیکرینگ به مدت ۳۰ روز در دمای ۲۵°C نگهداری شد و میزان روغن خارج شده از ساختار امولسیون ژل پیکرینگ به عنوان میزان نشت روغن گزارش شد (دی وریس و همکاران، ۲۰۱۵).

پایداری امولسیون ژل پس از اعمال تیمارهای حرارتی

ساختار امولسیون ژل پیکرینگ به مدت ۳۰ دقیقه در دمای ۸۰ درجه سانتی گراد نگهداری شدند و سپس با ۵۰۰۰ دور در دقیقه به مدت ۳۰ دقیقه سانتریفوژ شد و پایداری امولسیون براساس محاسبه میزان روغن جدا شده محاسبه گردید (دی وریس و همکاران، ۲۰۱۵).

بررسی ساختار امولسیون ژل پیکرینگ

جهت بررسی ساختار امولسیون ژل پیکرینگ، نمونه ها بر روی لام قرار گرفته و توسط میکروسکوپ نوری دیجیتال (demobaL، آمریکا) از آنها عکس تهیه شد (وو و همکاران، ۲۰۱۱).

آنالیز پروفایل بافت

جهت بررسی خصوصیات بافتی نمونه امولسیون ژل پیکرینگ، آزمون اکستروژن پسر^۱ انجام گرفت. دستگاه آنالیز بافت (TA.XT plus، انگلستان) با پروب دیسکی شکل با قطر ۳۵ میلی متر با سرعت ۱/۵ میلی متر بر ثانیه و میزان فشردگی ۵۰ درصد ارتفاع نمونه برای بررسی خصوصیات بافتی امولسیون ژل استفاده و تمامی آزمون ها در

4 Loss modulus

5 Phase angle

6 Physica Rheometer Data Analysis

1 Back extrusion

2 Linear Viscoelasticity

3 Storage modulus

آزمون حسی

جهت بررسی ویژگی‌های حسی خامه از گروه داوران چشایی متشکل از ۹ نفر در بازه سنی ۲۵ تا ۳۵ سال (مذکر و مؤنث) و از دانشجویان تحصیلات تکمیلی رشته علوم و صنایع غذایی انتخاب شدند. برای این منظور نمونه‌ها در اختیار داوران چشایی قرار گرفت و از آنها خواسته شد در مقیاس هدونیک ۵ نقطه‌ای نسبت به امتیازدهی خامه‌ها در خصوص پارامترهای رنگ، عطر، طعم، بافت و پذیرش کلی اعلام نظر نمایند. همچنین از داوران خواسته شد جهت از بین رفتن طعم ناشی از هر نمونه، در بین هر دو نمونه اندکی از آبی که در اختیار آنها قرار گرفته بود استفاده کنند (اروجی و همکاران، ۲۰۱۷).

تجزیه و تحلیل آماری داده‌ها

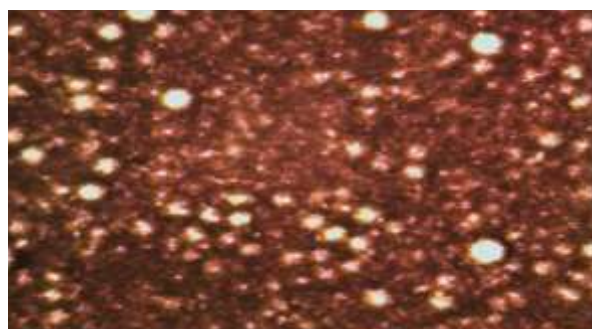
برای تجزیه تحلیل آماری نتایج از طرح کاملاً تصادفی ساده و فاکتوریل استفاده گردید. داده‌ها توسط آنالیز واریانس (ANOVA) و

اختلاف بین میانگین‌ها با استفاده از نرم‌افزار SPSS۱۶ به روش آزمون چنددامنه‌ای دانکن در سطح معنی‌داری ۰/۰۵ مورد مقایسه قرار گرفتند.

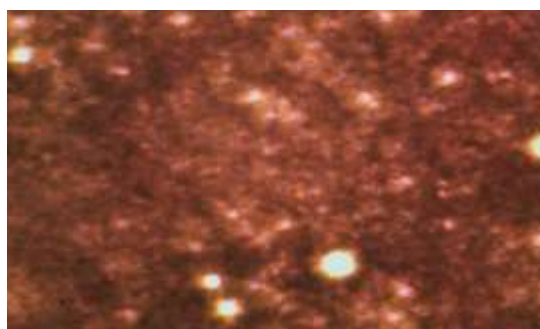
نتایج و بحث

ساختار امولسیون ژل‌ها

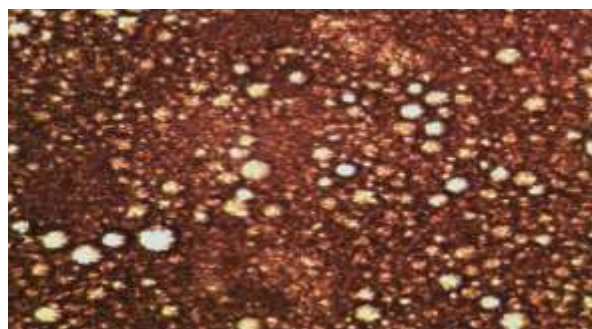
میکروساختار امولسیون ژل‌های تهیه شده به روش سرد (با افزودن ۱۰ mM نمک کلسیم کلرید) در شکل ۱ نمایش داده شده است. همان‌طور که انتظار می‌رفت در ساختار تمامی نمونه‌ها شبکه ژلی مشاهده شد. در تمامی نمونه‌ها ساختار ژل همگن بود، اما ساختار با توجه به نسبت پروتئین به پلی‌ساکارید متفاوت بود. شبکه‌های امولسیون ژل از قطرات روغن جمع شده تشکیل شده است. ساختار شبکه با قطرات روغن جمع شده در نمونه‌های 1S:0B و 2S:1B واضح‌تر بود (شکل ۱).



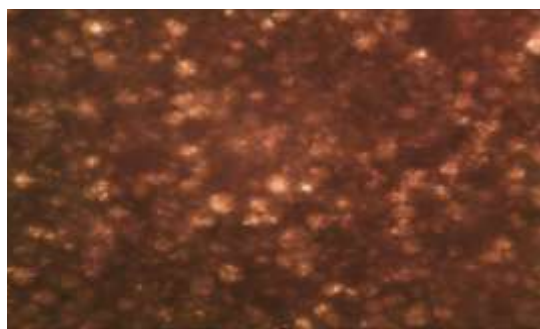
امولسیون ژل 1S:0R



امولسیون ژل 1S:1R



امولسیون ژل 2S:1R



امولسیون ژل 3S:1R

شکل ۱- تصاویر میکروسکوپی ساختار امولسیون ژل پیکرینگ پایدار شده با نانوذرات ISP و کمپلکس ISP-BSG با بزرگنمایی $\times 40$

تمایل به تشکیل چندلایه داشته باشند، و چندلایه با ویسکوالاستیک بالا ایجاد نمودند. نمک کلسیم کلرید باعث القای ژل شده و برهم کنش الکترواستاتیک نقش مهمی در تعیین تجمع ذرات پروتئینی با درجه حرارت کم در نوع ژل‌های سرد دارد (برایانت و مک کلمنتس، ۱۹۹۸).

استفاده از نانوذرات حاوی BSG به‌عنوان ذرات پیکرینگ باعث هموزن و فشرده‌تر شدن ساختار امولسیون ژل شده است. لایه‌های امولسیون ژل در نمونه‌های 1S:0B و 2S:1B ضخیم‌تر بود و این مسئله در نمونه 2S:1B مشهودتر بود. این احتمال وجود دارد نانوذرات 2S:1B

میزان در جلوگیری از خامه‌ای شدن مؤثر نبودند. نتایج حاصل از پایداری سانتریفیوژی امولسیون ژل نشان داد که نمونه‌های 1S:0B و 2S:1B دارای بیشترین پایداری هستند (به ترتیب ۸۱/۳۶ و ۸۶/۴۱٪) (جدول ۱). پایداری امولسیون توسط نانوذرات 2S:1B افزایش یافت، و مانع در هم ادغام شدن قطرات روغن شد. در هم ادغام شدن^۱ یک فرایند برگشتناپذیر است که زمانی اتفاق می‌افتد که قطرات کوچک برای تشکیل قطرات بزرگتر با هم جمع می‌شوند، یا وقتی قطرات برای مدت طولانی با یکدیگر نزدیک هستند. این شامل پارگی لایه و سد ایجاد شده توسط نانوذرات است (کاستا و همکاران، ۲۰۱۹).

استفاده از روش ژل سرد امکان تمام فرآیند دناوراسیون پروتئین را قبل از القای ژل ایجاد می‌کند که امکان استفاده کارآمدتر از پروتئین به‌عنوان واحد ساختمانی یک شبکه پروتئینی را فراهم می‌آورد (آلتینگ، ۲۰۰۳).

پایداری امولسیون ژل

براساس نتایج پایداری امولسیون، ذرات ISP توانایی جلوگیری از خامه‌ای شدن امولسیون ژل پیکرینگ را دارند (جدول ۱). اگرچه با توجه به ویژگی‌های ساختاری نانوذرات ISP و ISP-BSG به یک

جدول ۱- پایداری امولسیون ژل پیکرینگ طی ۴ هفته نگهداری در دمای ۲۵°C*.

نمونه‌ها	پایداری طی سانتریفیوژ	هفته ۱	هفته ۲	هفته ۳	هفته ۴
1S:0B	۸۱/۳۶±۱/۲۱ ^a	۱۰۰±۰/۰۰ ^a	۱۰۰±۰/۰۰ ^a	۱۰۰±۰/۰۰ ^a	۱۰۰±۰/۰۰ ^a
1S:1B	۷۵/۰۰±۲/۳۳ ^c	۱۰۰±۰/۰۰ ^a	۱۰۰±۰/۰۰ ^a	۱۰۰±۰/۰۰ ^a	۱۰۰±۰/۰۰ ^a
2S:1B	۸۶/۴۱±۳/۳۷ ^a	۱۰۰±۰/۰۰ ^a	۱۰۰±۰/۰۰ ^a	۱۰۰±۰/۰۰ ^a	۱۰۰±۰/۰۰ ^a
3S:1B	۷۸/۲۴±۱/۶۸ ^b	۱۰۰±۰/۰۰ ^a	۱۰۰±۰/۰۰ ^a	۱۰۰±۰/۰۰ ^a	۱۰۰±۰/۰۰ ^a

*حروف مختلف نشان‌دهنده تفاوت معنی‌دار بین امولسیون ژل‌ها می‌باشد (آزمون دانکن، P<۰/۰۵).

امولسیون‌ها طی نگهداری مشابه با روش سانتریفیوژ مطابقت نداشت. طی این آزمون تمامی نمونه‌ها دارای پایداری ۱۰۰٪ بودند و هیچ جداشدن فازی مشاهده نشد. نرخ تغییرات پایداری طی نگهداری توسط توزیع اندازه ذرات تحت تأثیر قرار می‌گیرد. براساس قانون استوک، سرعت حرکت قطره متناسب با مربع شعاع آنها است. پایداری امولسیون در برابر جدایی گرانشی می‌تواند با کاهش اندازه قطرات افزایش یابد (هوانگ و همکاران، ۲۰۰۱). اندازه قطرات روغن امولسیون ژل پیکرینگ‌ها یکسان و در حدود ۱ μm بود (داده‌ها گزارش نشده است) که باعث پایداری بیشتر این امولسیون‌ها طی نگهداری نسبت به سانتریفیوژ شد (هوانگ و همکاران، ۲۰۰۱).

آنالیز پروفایل بافت امولسیون ژل پیکرینگ

تأثیر استفاده از نانوذرات ISP و ISP-BSG به‌عنوان پایدارکننده پیکرینگ بر ویژگی‌های بافتی امولسیون ژل در شکل ۲ نمایش داده شده است. سفتی به‌منظور نشان دادن قدرت ساختار یک ماده تحت تأثیر نیروی فشاری اندازه‌گیری می‌شود. بسته به نوع سیستم غذایی، این پارامتر یک ویژگی بسیار مهم است (فیزمن، ۲۰۰۰؛ هویفلر، ۲۰۰۴؛ لو و همکاران، ۲۰۰۰). در آزمون اکستروژن پسر، میزان سفتی امولسیون ژل نمونه پایدارشده با نانوذرات ISP، ۶۷/۴۴ g بود که کمترین میزان سفتی را داشت (شکل ۲- الف). استفاده از نانوذرات کمپلکس ISP-BSG باعث افزایش معنی‌دار در سفتی امولسیون ژل

این افزایش پایداری می‌تواند مربوط به تشکیل یک لایه سطحی ضخیم‌تر در اطراف قطرات در حضور ذرات 2S:1B باشد. در شکل ۱ مشاهده شد که لایه‌های امولسیون 2S:1B ضخیم‌تر است. این احتمال وجود دارد نانوذرات 2S:1B تمایل به تشکیل چندلایه داشته باشند، و چندلایه با ویسکوالاستیک بالا ایجاد نمودند که این لایه‌های بسیار ویسکوالاستیک مانع از جمع شدن قطرات روغن می‌شود. در تحقیقات پیشین نیز به نقش لایه ویسکوالاستیک حاصل از نانوذرات در ایجاد پایداری اشاره داشته‌اند. هنگامی که ذرات پروتئین آب پنیر در تماس با روغن مایع (یعنی در امولسیون) هستند، لایه پروتئین ویسکوالاستیک آنها مانع فیزیکی و الکترواستاتیک کافی در برابر ناپایداری را فراهم می‌کند (پاولیک و همکاران، ۲۰۱۶). گزارش شده است که پل زدن قطرات^۲ می‌تواند ثبات مکانیکی مؤثرتری ایجاد و به ایجاد یک ساختار با ویژگی‌های رئولوژیکی شبه ژل در امولسیون‌های پیکرینگ کمک کند (لی و همکاران، ۲۰۱۱). با توجه به خصوصیات چسبندگی BSG ممکن است نیروهای چسبندگی بین قطره‌های مجزا را که دارای یک لایه‌ای از ذرات هستند، افزایش دهد و منجر به تشکیل ذرات با چند لایه نانوذرات شود (خوربه و همکاران، ۲۰۱۵).

آزمون سانتریفیوژ یک روش سریع برای بررسی پایداری امولسیون است، اما گاهی اوقات ممکن است رفتار واقعی امولسیون در طول نگهداری را منعکس نکند. بنابراین، ثبات امولسیون طی ۴ هفته نگهداری نیز مورد بررسی قرار گرفت (جدول ۱). نتایج پایداری

قوام امولسیون ژل دارای نانوذرات ISP در حدود $g.s$ ۳۵۴/۷۶ بود که تفاوت معنی‌داری با امولسیون ژل 1S:1B نداشت ($P > 0.05$). بیشترین تغییر معنی‌دار در نمونه 2S:1B مشاهده گردید که میزان قوام g ۸۱۷/۳۹ مشاهده شد (شکل ۲-د). نتایج مجدداً گویای این مطلب است که قدرت شبکه ژلی با استفاده از پیکرینگ‌های 2S:1B و 3S:1B افزایش می‌یابد، در نتیجه نیروی لازم برای غلبه به نقاط اتصال به طور معنی‌دار افزایش یافت. این نتایج افزایش اتصال در شبکه امولسیون ژل را با استفاده از پیکرینگ‌های کمپلکس در مقایسه با ISP نشان می‌دهد. افزایش ویسکوزیته شبکه ژل از برخورد قطرات جلوگیری می‌کند و باعث تقویت پایداری امولسیون می‌شود (آرکومانیس و همکاران، ۲۰۱۹). علت پایداری بیشتر در نمونه 2S:1B مربوط به قوام بالاتر آن نیز باشد.

بررسی ویژگی‌های ویسکوالاستیک امولسیون ژل

خواص رئولوژیکی امولسیون‌ها تأثیر قابل توجهی در فرایند و کاربرد امولسیون‌ها دارند. بنابراین، اثرات نانوذرات ISP و نانوذرات 2S:1B بر خواص رئولوژیکی امولسیون ژل پیکرینگ با استفاده از اندازه‌گیری رئولوژیکی مورد بررسی قرار گرفت. در ابتدا آزمون کرنش متغیر در فرکانس ثابت ۱ هرتز و در دامنه کرنش ۰/۱ تا ۱۰۰ درصد به منظور تعیین ناحیه خطی انجام گرفت که با توجه به نتایج ناحیه خطی در کرنش ثابت ۰/۵ درصد برای تمامی نمونه انتخاب گردید. آزمون فرکانس متغیر امولسیون ژل پیکرینگ 1S:0B و 2S:1B به‌عنوان پایدارترین سیستم امولسیون ژل در کرنش ثابت Pa ۰/۵٪ مورد بررسی قرار گرفت و نتایج آزمون خواص رئولوژیکی دینامیک در شکل ۳-الف نمایش داده شده است و داده‌های حاصل از این آزمون در جدول ۲ خلاصه شده‌اند.

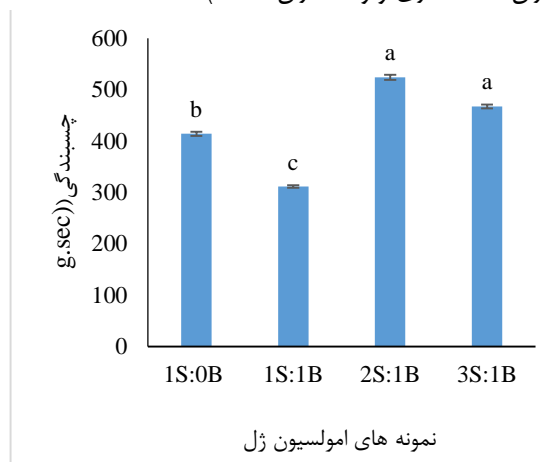
براساس نتایج آزمون فرکانس متغیر مقادیر مدول ذخیره (G') در تمام طیف فرکانس اعمال شده بیشتر از مدول اتلاف (G'') بود و نمودارهای G' و G'' کاملاً موازی و تقریباً مستقل از فرکانس بود و نقطه تقاطعی وجود نداشت. آزمون فرکانس متغیر می‌تواند سه نوع سیستم را شناسایی کند: محلول‌های رقیق، محلول‌های غلیظ و ژل‌ها. برای ژل‌ها، در محدوده فرکانس اعمال شده G' همواره بیشتر از G'' است. در محلول‌های رقیق در محدوده فرکانس مورد مطالعه G'' بزرگتر از G' است و مدول‌ها در فرکانس‌های بالاتر به هم نزدیک می‌شوند. اما در محلول‌های پلی‌ساکاریدی غلیظ، در فرکانس‌های پایین مقدار مدول G' کمتر از G'' است و در میانه محدوده فرکانس اعمالی یکدیگر را قطع می‌کنند (کیوتز، ۲۰۱۳). اگر چه کلارک و راس-مورفی (۱۹۸۷) برای سیالاتی که نمودارهای G' و G'' کاملاً موازی هستند لفظ ژل ضعیف یا مایعات ساختاری را استفاده می‌کنند که بیانگر وجود شبکه بهم تنیده در ساختار آنها است که حتی در فرکانس‌های بالا پایدار است. مقادیر بیشتر G' از G'' بیانگر رفتار ژل

شد ($P < 0.05$). این نتیجه با تصاویر میکروساختار امولسیون ژل (شکل ۱) مطابقت داشت. فشرده شدن ساختار امولسیون ژل‌ها در حضور نانوذرات کمپلکس ISP-BSG در مقایسه با ISP را افزایش می‌دهد. تغییرات میزان سفتی با نسبت پروتئین به پلی‌ساکارید کمپلکس در ارتباط بود. امولسیون ژل 1S:1B، 2S:1B و 3S:1B به ترتیب دارای میزان سختی ۸۳/۲۹، ۱۱۳/۷۱ و g ۱۲۲/۲۷ بود که تفاوت بین نمونه 2S:1B و 3S:1B معنی‌دار نبود ($P > 0.05$). حضور نسبت بالاتر ISP به BSG در نانوذرات منجر به ایجاد امولسیون ژل بافت سفت‌تر گردید. به نظر می‌رسد وجود صمغ دانه ریحان در ساختار نانوذرات باعث شده که ایجاد اتصالات بین نانوذرات بیشتر شود و ژل قوی‌تری تشکیل گردد. از سوی دیگر صمغ دانه ریحان باعث ایجاد یک ساختار ژل مانند و یک لایه تثبیت‌کننده ضخیم‌تر در اطراف ذرات می‌شود (لیو و تانگ، ۲۰۱۶). بنابراین حضور BSG باعث تغییر در خصوصیات سطح نانوذرات ISP شده و نانوذرات ISP-BSG بهتر در سطح مشترک روغن و آب قرار می‌گیرد.

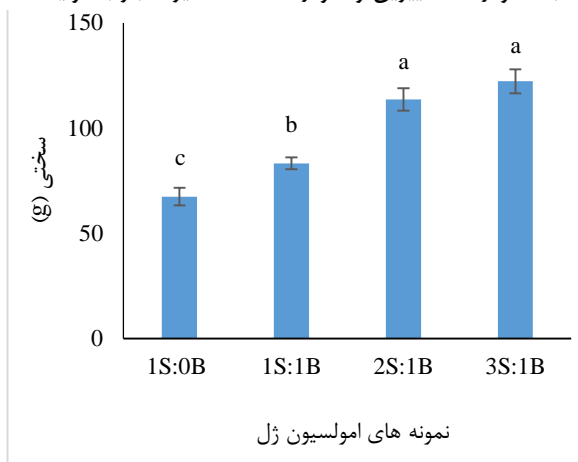
پارامتر چسبندگی به کار مورد احتیاج برای غلبه بر نیروهای جاذب بین سطح ماده غذایی و سطح موادی که در تماس با آن هستند؛ اشاره دارد (زیناک، ۱۹۷۵). با توجه به تأثیرگذاری چسبندگی بر خصوصیات کلی، ظاهر و مدت زمان نگهداری محصولات غذایی، میزان و پایداری آن یک پارامتر مهم باشد. همانطور که شکل ۲-ب مشاهده می‌شود، نمونه‌های پایدار شده با نانوذرات کمپلکس ISP-BSG (به جز 1S:1B) میزان چسبندگی بالاتری نسبت به نمونه‌های امولسیون پایدار شده توسط ISP داشتند. کمترین میزان چسبندگی متعلق به نمونه 1S:1B بود. چسبندگی به دو روش: چسبندگی به تجهیزات تولید یا چسبیدن به انگشتان دست و دهان قابل مشاهده است. ممکن است این خاصیت برای محصولات نانویی مثبت باشد و برای محصولات ماندگار ماکارونی، پاستا، مغزنان، برخی از محصولات گوشتی یک ویژگی منفی تلقی شود. گاهی اوقات بسته به عوامل اجتماعی و فرهنگی این خاصیت تحت تأثیر قرار می‌گیرد (ویلیامز و همکاران، ۲۰۰۸). در نتیجه برای امولسیون‌هایی که در فرمولاسیون اسپردها و خامه استفاده خواهند شد وجود چسبندگی مزیت محسوب می‌شود.

میزان فنریته امولسیون ژل پایدار شده توسط پیکرینگ ISP در دمای $25^{\circ}C$ ، mm ۱۰/۵۵ مشاهده گردید. استفاده از پیکرینگ‌های کمپلکس BSG-ISP باعث افزایش میزان الاستیسته امولسیون ژل‌ها شد ($P < 0.05$) به غیر از امولسیون ژل 1S:1B که میزان فنریته نسبت به نمونه شاهد کاهش یافت ($P > 0.05$). در نتیجه میزان الاستیسته و قابلیت حفظ شکل ژل با استفاده از پیکرینگ‌های 2S:1B و 3S:1B افزایش می‌یابد (شکل ۲-ج).

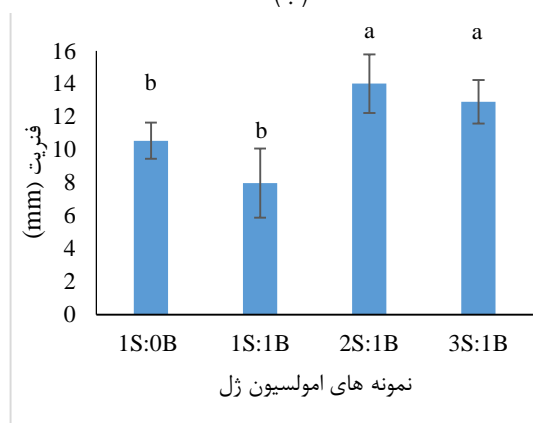
امولسیون پیکرینگ با خصوصیات رئولوژیکی ژل مانند می شوند (جی) و همکاران، ۲۰۱۷؛ ژی او و همکاران، ۲۰۱۷).



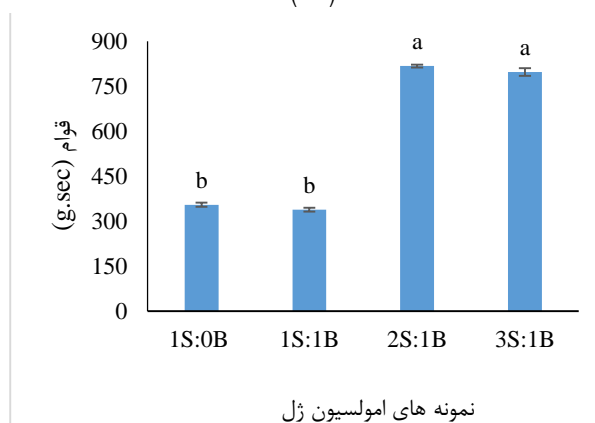
(ب)



(الف)



(د)



(ج)

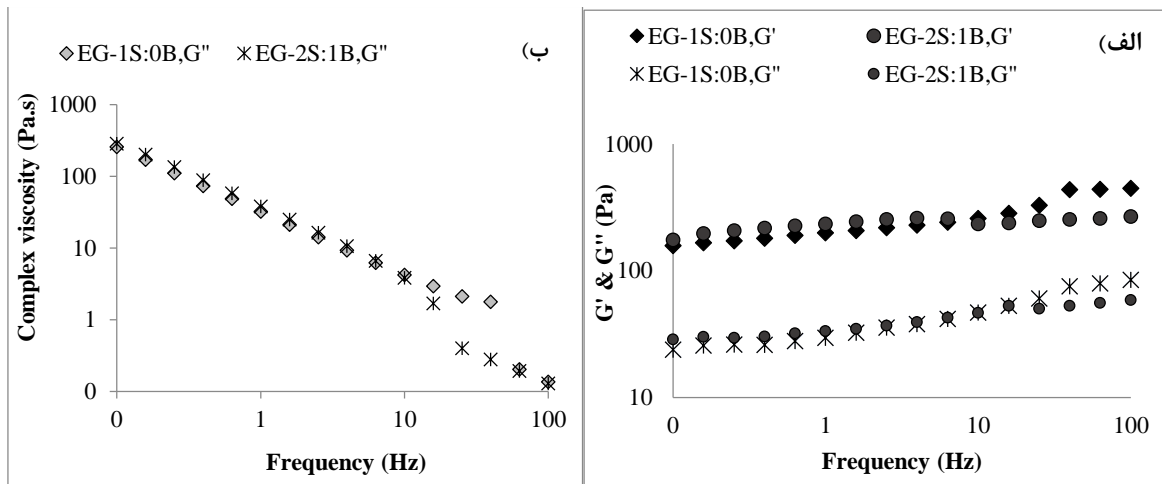
شکل ۲- ویژگی های بافتی (سختی (الف)، چسبندگی (ب)، قوام (ج) و فیریت (د)) امولسیون ژل پیکرینگ پایدار شده با نانوذرات ISP و کمپلکس ISP-BSG

حروف مختلف روی هر ستون نشان دهنده تفاوت معنی دار بین امولسیون ژل های مختلف صمغ می باشد ($P < 0.05$).

موثر هستند (لیو و تانگ، ۲۰۱۶b). در نتیجه حضور صمغ دانه ریحان به صورت کمپلکس در کنار ایزوله سویا، بار سطحی نانوذرات را دچار تغییر کرد (جدول ۲) که این مسئله جذب سطحی نانوذرات 2S:1B را بهبود داده است و بر ویژگی های الاستیک امولسیون ژل موثر بوده است.

بر اساس آزمون فرکانس متغیر، مقدار مدول ذخیره امولسیون ژل پیکرینگ 2S:1B NPs (۲۳۶/۰۰ Pa) بیش از 1S:0B NPs (۲۰۰/۰۰ Pa) بود (جدول ۲). مقدار مدول اتلاف امولسیون ژل پیکرینگ 2S:1B NPs (۳۳/۶۰ Pa) به طور قابل توجهی بیش از 1S:0B NPs (۲۹/۸۰ Pa) بود. مقادیر بالاتر G' و G'' بیانگر تشکیل شبکه قوی تر و ایجاد رفتار جامد گونه تر در امولسیون ژل پیکرینگ 2S:1B است.

علاوه بر این، یانگ و همکاران (۲۰۱۷) گزارش نمودند که تشکیل شبکه امولسیون ژل پیکرینگ می تواند برخی از ویژگی های منحصر به فرد و مفید مانند رهاسازی بهتر دارو و پایداری بیشتر در امولسیون ایجاد کند. این امولسیون ژل ماندها بیشتر توسط پروتئین های غذایی ساخته شده اند که به عنوان امولسیفایر پیکرینگ تهیه شده اند مانند پروتئین نخود فرنگی (شائو و تانگ، ۲۰۱۶)، گلایسینین سویا (لو و همکاران، ۲۰۱۳؛ لیو و تانگ، ۲۰۱۶) ذرات نشاسته ای (راینر و همکاران، ۲۰۱۲). بر اساس مطالعات منشأ تشکیل امولسیون ژل ها، شامل بخش روغن، غلظت پروتئین و نحوه تهیه امولسیون است (لو و همکاران، ۲۰۱۳). همچنین، گزارش شده است بار سطحی نانوذرات ایزوله پروتئین سویا در جذب سطحی اهمیت دارند و در نهایت بر ویژگی های امولسیون



شکل ۳- نمودار مدول ذخیره (G') و مدول اتلاف (G'') (الف) و ویسکوزیته کمپلکس (η^*) (ب) در برابر فرکانس امولسیون ژل در دمای 20°C کرنش ۰/۵ درصد.

توسط خاصیت الاستیسیته بین سطحی ایجاد می‌شود که حاصل از چسبندگی قوی (یا برهمکنش‌های جانبی قوی) بین ذرات جامدی است که بین آب-روغن جذب می‌شوند. در نتیجه نانوذرات 2S:1B منجر به برهم‌کنش‌های ملکولی و بهم پیوستگی زنجیره‌های ملکولی بیشتر شده که این باعث تقویت رفتار ویسکوالاستیک امولسیون ژل شده است.

نتایج نشان داد که نوع پیکرینگ مورد استفاده بر خواص رئولوژیکی امولسیون‌ها تأثیر قابل توجهی دارد. این نشان می‌دهد که ویسکوزیته امولسیون ژل پیکرینگ تحت تأثیر نوع پیکرینگ مورد استفاده جهت پایداری است. اردیتی و همکاران (۲۰۰۴) نیز بیان داشتند که تشکیل یک شبکه ژل مانند برای امولسیون‌های پایدار شده با ذرات جامد، عمدتاً

جدول ۲- مدول ذخیره (G')، مدول اتلاف (G'') و ویسکوزیته کمپلکس (η^*) امولسیون ژل در دمای 20°C کرنش ۰/۵ درصد و فرکانس ۱ Hz.

نمونه‌ها	G' (Pa)	G'' (Pa)	η^* (Pa.s)	$\tan \delta$	شیب η^*
EG-1S:0B	۲۰۰/۰۰	۲۹/۸۰	۳۲/۲۰	۰/۱۵	-۱/۱۶
EG-2S:1B	۲۳۶/۰۰	۳۳/۶۰	۳۸/۰۰	۰/۱۴	-۱/۰۲

وابستگی بین G' و G'' با فرکانس با استفاده از توابع قانون توان ($G' = a \cdot \omega^b$ و $G'' = c \cdot \omega^d$) تعیین شد که در آن فرکانس نوسانی است، b و d شاخص‌های قانون توان در مدول ذخیره و اتلاف می‌باشند برای ژل کووالانسی، $b = 0$ ، در حالیکه برای یک ژل فیزیکی $b > 0$ است. در مقادیر b نزدیک به ۱، سیستم به صورت یک ژل ویسکوز رفتار می‌کند. بنابراین در مقادیر b و d نزدیک به صفر، G' و G'' با فرکانس تغییر نمی‌کنند و الاستیسیته بالای ساختار را نشان می‌دهند (حصاری‌نژاد و همکاران، ۲۰۱۴). با توجه به مقادیر ضریب تبیین (۰/۹۱-۰/۹۷)، مدل قانون توان برای بیان رابطه بین مدول ذخیره و اتلاف با فرکانس مناسب است. با ملاحظه نتایج ارائه شده در جدول ۳ می‌توان دریافت که الاستیسیته بالاتری در امولسیون ژل 2S:1B وجود دارد که با نتایج آزمون مقادیر مدول الاستیک حاصل از آزمون فرکانس متغیر هم‌خوانی دارد. مقدار b در امولسیون ژل 1S:0B نشانگر عدم توانایی شکل‌گیری ژل قوی است و یک ژل ویسکوز را نشان می‌دهد.

مقدار $\tan \delta$ هر دو امولسیون ژل در محدوده ۰/۱۴ قرار داشت که وجود یک ساختار ژل ضعیف را در امولسیون‌ها نشان می‌دهد. برای محلول‌های رقیق مقادیر $\tan \delta$ بسیار بالا است، برای بیوپلیمرهای آمورف در محدوده ۰/۲ تا ۰/۳ است و برای پلیمرهای شیشه‌ای کریستالی و ژل‌ها در حدود ۰/۰۱ است (استف، ۱۹۹۹).

شکل ۳- نشان می‌دهد که ویسکوزیته کمپلکس (η^*) به صورت خطی با افزایش فرکانس کاهش می‌یابد که بیانگر رفتار نیوتنی تضعیف‌شونده با برش امولسیون‌ها است. مقادیر ویسکوزیته کمپلکس 1S:0B (۳۲/۲۰ Pa.s) و 2S:1B (۳۸/۰۰ Pa.s) بود (جدول ۲). هیچ‌گونه رفتاری از رسیدن ویسکوزیته کمپلکس به مقدار ثابت نیوتنی در محدوده دامنه فرکانس اعمال شده وجود نداشت. پارامتر دیگری که بیان‌کننده قدرت ژل است شیب منحنی ویسکوزیته کمپلکس در برابر فرکانس $f - \eta^*$ است. لگاریتم ویسکوزیته کمپلکس با لگاریتم فرکانس در دامنه ۰/۰۱ تا ۱۰ Hz رابطه خطی نشان داد. شیب η^* برای 1S:0B و 2S:1B به ترتیب ۱/۱۶ و ۱/۰۲ بود که بیانگر وجود ژل قوی‌تر در امولسیون پیکرینگ پایدار شده با نانوذرات دارای صمغ دانه ریحان است.

جدول ۳- پارامترهای مدل توان برای مدول ذخیره، مدول اتلاف امولسیون ژل (دمای °C ۲۰، کرنش ۰/۵٪)

$G''=c\omega^d$		$G'=\alpha\omega^b$		فراکسیون ها
R^2	d	R^2	b	
۰/۹۴	۰/۲۱	۰/۸۷	۰/۱۷	EM-1S:0B
۰/۹۳	۰/۱۲	۰/۹۵	۰/۰۲	EM-2S:1B

می کند که به کاهش مقاومت مکانیکی شبکه پروتئینی مربوط است. غنی سازی با ماده خشک و همچنین افزودن هیدروکلوئیدها روش های متداول برای ممانعت از آب اندازی خامه کم چرب می باشند (ساهان و همکاران، ۲۰۰۸).

نتایج تحلیل آماری تاثیر جایگزینی امولسیون ژل های مختلف در درصد های متفاوت بر میزان آب اندازی در جدول ۴ گزارش شده است. استفاده از درصد های بالای جایگزینی با افزایش آب اندازی خامه همراه بود ($p < 0.05$). حداقل آب اندازی در حداقل میزان جایگزینی مشاهده شد. شبکه ژلی امولسیون ژل از خروج آب جلوگیری می کنند. نوع امولسیون ژل بر میزان آب اندازی تاثیر معنی داری نداشت ($p > 0.05$). کمترین میزان آب اندازی در نمونه ۵S:0B و ۵S:1B٪ مشاهده شد که در حدود ۱ درصد بود.

نتایج ویسکوالاستیک نشان داد که حضور صمغ دانه ریحان در ساختار نانوذرات پیکرینگ باعث افزایش الاستیسیته امولسیون ژل می گردد. صمغ دانه ریحان بر ویژگی های سطحی ذرات اثر می گذارد که باعث ایجاد ذرات ژل مانند می شود. در حالی که نانوذرات ISP یک ساختار ژل ضعیف تری را تشکیل داد. لی و همکاران (۲۰۱۳) گزارش نمودند لایه های ویسکوالاستیک منجر به پایداری بالای امولسیون می شوند.

میزان آب اندازی خامه

یکی از مهمترین مسائل در تولید خامه، مقدار آب اندازی پس از تولید می باشد که پذیرش و قابلیت مصرف آن را پایین می آورد (غلامحسین پور و مظاهری تهرانی، ۱۳۹۰). براساس مطالعات پیشین با کاهش چربی در فرمولاسیون خامه، مقدار آب اندازی آن افزایش پیدا

جدول ۴- میزان آب اندازی (درصد) نمونه های خامه کم چرب

۱۵S:1B٪	۱۰S:1B٪	۵S:1B٪	۱۵S:0B٪	۱۰S:0B٪	۵S:0B٪
۲/۰۳±۰/۱۴ ^b	۱/۴۴±۰/۰۹ ^c	۰/۸۷±۰/۱۱ ^d	۲/۱۱±۰/۲۰ ^a	۱/۲۸±۰/۱۳ ^c	۰/۹۲±۰/۱۶ ^d

*حروف مختلف نشان دهنده تفاوت معنی دار بین امولسیون ژل ها می باشد ($P < 0.05$).

($p < 0.05$). این تحقیق نشان داد که میزان جایگزینی نسبت به نوع سیستم در امتیاز طعم نقش دارد. از سویی دیگر بیشترین امتیاز در نمونه های کم چرب مربوط به سطوح ۵ درصد جایگزینی بود. پروفایل رهایش طعم ها به طور معنی دار تابع غلظت چربی است و با کاهش غلظت چربی، شدت رهاسازی طعم زیاد می شود. به عبارت دیگر چربی به عنوان حامل ترکیبات مولد طعم عمل می کند. به همین دلیل ترکیبات آروما با قطبیت کمتر، غلظت آستانه طعم بیشتری در روغن در مقایسه با غلظت آستانه طعم در آب دارند. تغییر جزئی در میزان روغن، اثرات معنی داری بر فشار بخار ترکیبات مولد طعم محلول در چربی (لیمونن و اتیل هیتانوات) داشت در حالی که فشار بخار ترکیبات هیدروفیل (دی استیل و پروپانول) به میزان کمی کاهش و یا حتی افزایش می یابد. پیراپرز و همکاران (۱۹۹۸) از طریق افزایش میزان لیپید در لبنیات منجر به حفظ ترکیبات طعم دهنده (آلدئیدها، متیل کتون ها، استرها و دی متیل دی سولفید) شدند، هرچند ساختار شیمیایی و میزان لیپوفیل بودن نیز موثر بود. جو و آهن (۱۹۹۹) نشان دادند آزادسازی طعم هیدروکربن ها، آلدئیدها، کتونها و الکلها با میزان چربی امولسیون رابطه

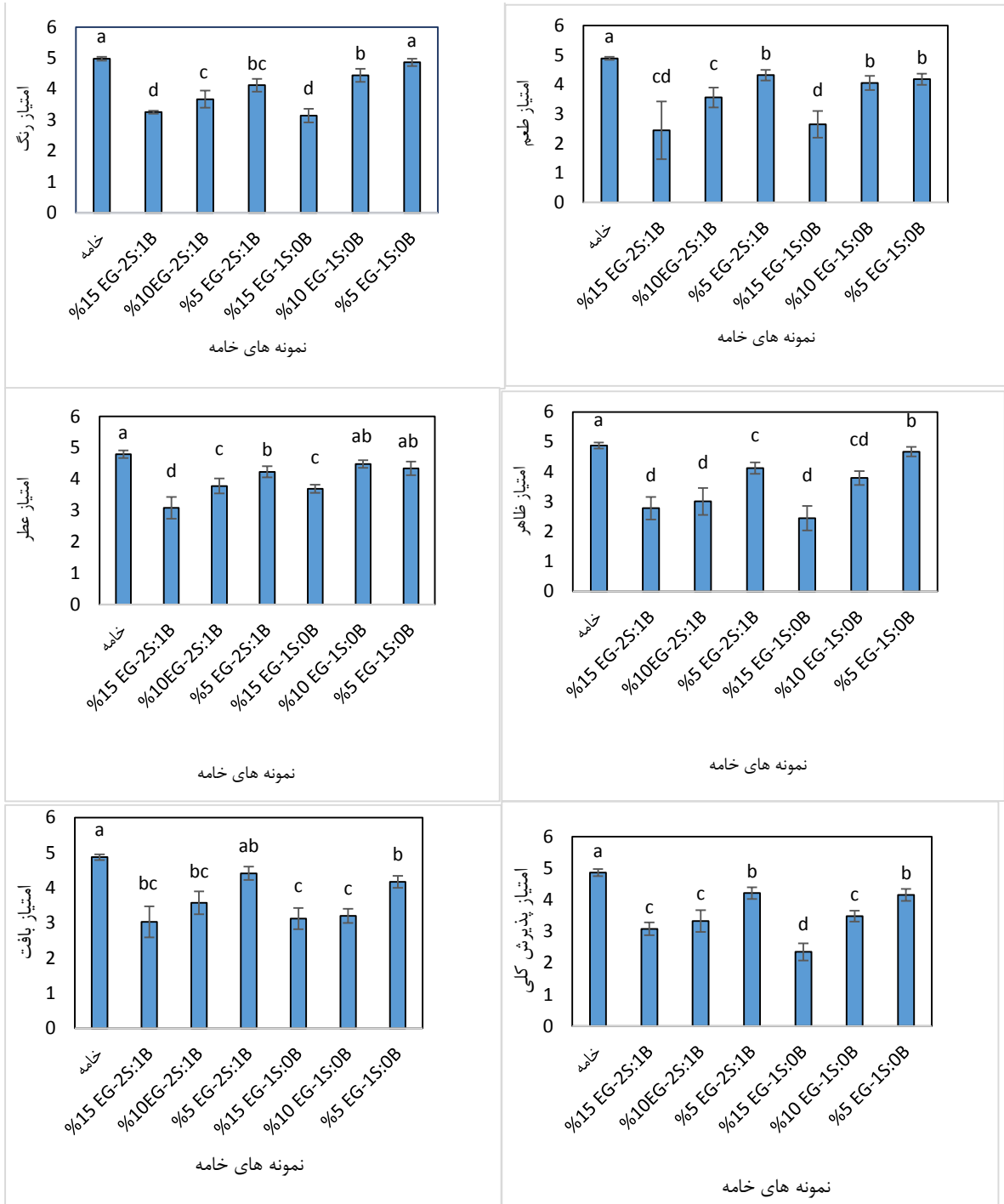
بررسی ویژگی های ارگانولپتیکی خامه

میزان چربی در محصولات غذایی بر احساس دهانی و خصوصیات حسی محصولات غذایی اثر گذار است. از این رو با توجه به اهمیت نقش اجزاء تشکیل دهنده مواد غذایی بر خصوصیات حسی، آزمون ویژگی های ارگانولپتیکی خامه های کم چرب در مقایسه با خامه ۳۰٪ چربی توسط آزمون هدونیک ۵ نقطه مورد بررسی قرار گرفت.

مقایسه رنگ نمونه ها نشان داد بیشترین میانگین نمره رنگ (از نظر مطلوبیت) در بین گروه شاهد و تیمارهای کم چرب مربوط به نمونه خامه کنترل و EG-1S:0B ۵٪ و کمترین میانگین نمره رنگ (رنگ تیره تر) مربوط به نمونه EG ۱۵٪ بود. با افزایش میزان جایگزینی چربی میزان امتیاز رنگ کاهش معنی دار داشت. اگرچه امتیاز بیشتر نمونه ها قابل قبول بود (شکل ۴).

در مشخصه کیفی طعم، نتایج نشان داد میزان طعم خامه به مقدار چربی وابسته است (شکل ۴). نتایج نشان داد که بیشترین میانگین نمره طعم مربوط به خامه کنترل بود (۴/۸۹) و کمترین میانگین نمره طعم مربوط به ۱۵٪ جایگزینی سیستم امولسیون ژل بود

خطی دارد. این اثر کتون‌ها و هیدروکربن‌های بزرگتر به دلیل تفاوت در حلالیت روغن مشخص تر بوده است.



شکل ۴- ارزیابی حسی خامه تهیه شده با جایگزینی درصدهای مختلف امولسیون ژل.

فاصل روغن و آب را بهبود می‌دهد. در تمامی نمونه‌ها ساختار ژل همگن بود، اما ساختار و رفتار امولسیون ژل در حضور BSG و با توجه به نسبت پروتئین به پلی‌ساکارید متفاوت بود. در حضور ذرات 2S:1B پایداری افزایش پیدا کرد که مربوط به تشکیل لایه سطحی ضخیم‌تر در اطراف قطرات روغن توسط این نانوذرات است. همچنین صمغ دانه ریحان به پل‌زدن قطرات کمک می‌کند و ثبات مکانیکی مؤثرتری ایجاد کرده و به رئولوژی شبه‌ژل در امولسیون‌های پیکرینگ کمک کند. نتایج بافت‌سنجی نیز تایید کرد وجود صمغ دانه ریحان در ساختار نانوذرات باعث شده که ایجاد اتصالات بین نانوذرات بیشتر شود و امولسیون ژل قوی‌تری تشکیل شد. بررسی خصوصیات ویسکوالاستیک تشکیل ژل را در هر دو سیستم امولسیون ژل تایید کرد. مقدار مدول ذخیره و اتلاف امولسیون ژل پدیدار شده توسط پیکرینگ 2S:1B NPs بیش از 1S:0B NPs بود. مقادیر بالاتر G' و G'' بیانگر تشکیل شبکه قوی‌تر و ایجاد رفتار جامد گونه‌تر در امولسیون ژل پیکرینگ 2S:1B است. با توجه به پایداری و خصوصیات بافتی از بین نمونه‌های امولسیون ژل، دو فرمول 1S:0B و 2S:1B جهت جایگزینی در خامه برای تولید خامه با چربی کاهش یافته استفاده شد. با استفاده از سیستم امولسیون ژل میزان آب‌اندازی در خامه با چربی کاهش یافته در محدوده ۲-۱ درصد بود که نشانگر کارایی این سیستم‌ها در کاهش آب‌اندازی در خامه است. شبکه ژلی امولسیون ژل از خروج آب جلوگیری می‌کنند. حداقل آب‌اندازی در حداقل میزان جایگزینی مشاهده شد. براساس نتایج آزمون حسی مشخص شد، مشخصه‌های کیفی نمونه‌های خامه بیشتر به میزان جایگزینی وابسته بودند تا نوع سیستم استفاده شده به‌عنوان جایگزین. حضور سیستم جایگزین چربی باعث حفظ کیفیت مطلوب در نمونه‌های خامه کم چرب شد و در تمامی نمونه‌ها امتیاز بالاتر از ۳ کسب شد. اکثر نمونه‌ها امتیاز بالاتر از ۳ کسب کردند که نشانگر مطلوبیت این نمونه‌ها از نظر داوران حسی است.

در هر حال در هیچ یک از نمونه‌های کم‌چرب طعم نامطبوع گزارش نشد. در تحقیقات پیشین گزارش شده است به کمک آنکپسولاسیون روغن در ذرات ژل (امولسیون‌های ریزساختار)، احتمال کنترل انتخابی ترکیبات لیپوفیل در محصولات کم‌چرب افزایش می‌یابد. این نوع امولسیون‌ها قادر به کنترل شدت ترکیبات مولد طعم لیپوفیل و بهبود تعادل طعم در مخلوط‌های حاوی چند نوع طعم‌دهنده می‌شوند (آید و همکاران، ۲۰۱۸). نتایج آزمون عطر مشابه طعم تابعی از میزان چربی بود (شکل ۴) و با افزایش درصد جایگزینی از ۵ به ۱۵٪ میزان امتیاز عطر به‌طور معنی‌داری کاهش یافت ($p < 0.05$).

در مورد ویژگی بافتی (شکل ۴)، حضور سیستم جایگزین چربی باعث حفظ کیفیت مطلوب در نمونه‌های خامه کم چرب شد و در تمامی نمونه‌ها امتیاز بالاتر از ۳ کسب شد. نتایج حاکی از آن بود که بالاترین میانگین نمره، به ترتیب مربوط به نمونه‌های خامه کنترل و EG-2S:1B ۵٪ بود.

در بررسی نتایج قابلیت پذیرش توسط مصرف‌کننده (شکل ۴)، امتیاز نمونه EG ۵٪ و نمونه خامه شاهد نسبت به سایر نمونه‌ها بالاتر بود ($p < 0.05$). اگرچه اکثر نمونه‌ها امتیاز بالاتر از ۳ کسب کردند به جزء نمونه EG-1S:0B ۱۵٪ (۲/۳۵). میزان امتیاز پذیرش بیشتر تحت تاثیر درصد جایگزینی چربی بود تا نوع سیستم جایگزین چربی بود.

نتیجه‌گیری

با استفاده از ذرات جامد ISP و ISP-BSG به‌عنوان امولسیون پیکرینگ، ساختار امولسیون شکل گرفت که با استفاده از کلسیم کلرید امولسیون ژل تشکیل شد. بسته به نوع پیکرینگ میزان پایداری متفاوت بود. همچنین حضور صمغ دانه ریحان به‌خصوص در نسبت ۲:۱ پایداری امولسیون ژل را به‌طور معنی‌داری افزایش داد. حضور BSG باعث تغییر مورفولوژی و خصوصیات سطح نانوذرات می‌شود و جذب ذرات در حد

منابع

- Alting, A., C. (2003). Cold gelation of globular proteins. Thesis Wageningen University, The Netherlands.
- Arditty, S., V. Schmitt, J. Giermanska-Kahn and F. Leal-Calderon (2004). "Materials based on solid-stabilized emulsions." *Journal of Colloid and Interface Science* 275(2): 659-664.
- Arkoumanis, P. G., I. T. Norton and F. Spyropoulos (2019). "Pickering particle and emulsifier co-stabilised emulsions produced via rotating membrane emulsification." *Colloids and Surfaces A: Physicochemical and Engineering Aspects* 568: 481-492.
- Ayed, C., S. I. Martins, A. M. Williamson and E. Guichard (2018). "Understanding fat ,proteins and saliva impact on aroma release from flavoured ice creams." *Food chemistry* 267: 132-139.
- Brodelius, P. E., C. Funk and R. D. Shillito (1988). "Permeabilization of cultivated plant cells by electroporation for release of intracellularly stored secondary products." *Plant cell reports* 7(3): 186-188.
- Clark, A. H. and S. B. Ross-Murphy (1987). Structural and mechanical properties of biopolymer gels. *Biopolymers*, Springer: 57-192.

- Costa, C., Medronho, B., Filipe, A., Mira, I., Lindman, B., Edlund, H., & Norgren, M. (2019). Emulsion formation and stabilization by biomolecules: The leading role of cellulose. *Polymers*, 11(10), 1570.
- De Vries, A., J. Hendriks, E. Van Der Linden and E. Scholten (2015). "(Protein oleogels from protein hydrogels via a stepwise solvent exchange route." *Langmuir* 31(51): 13850-13859.
- Fizman, S. and M. Damasio (2000). "Suitability of single-compression and TPA tests to determine adhesiveness in solid and semi-solid foods." *Journal of texture studies* 31(1): 55-68.
- Ge, S., L. Xiong, M. Li, J. Liu, J. Yang, R. Chang, C. Liang and Q. Sun (2017). "Characterizations of Pickering emulsions stabilized by starch nanoparticles: Influence of starch variety and particle size." *Food chemistry* 234: 339-347.
- Hesarinejad, M. A., S. M. Razavi and A. Koocheki (2015). "Alyssum homolocarpum seed gum: Dilute solution and some physicochemical properties." *International journal of biological macromolecules* 81: 418-426.
- Hoefler, A. (2001). Carrageenan: chemistry, functionality, and applications, Oxford PA. p.
- Jo, C. and D. U. Ahn (1999). "Fat reduces volatiles production in oil emulsion system analyzed by purge and trap dynamic headspace/gas chromatography." *Journal of Food Science and Technology (Mysore)* 64.4: 641-643.
- Katsiari, M., L. Voutsinas, E. Kondyli and E. Alichanidis (2002). "Flavour enhancement of low-fat Feta-type cheese using a commercial adjunct culture." *Food Chemistry* 79(2): 193-198.
- Kavas, G., G. Oysun, O. Kinik and H. Uysal (2004). "(Effect of some fat replacers on chemical, physical and sensory attributes of low-fat white pickled cheese." *Food chemistry* 88(3): 381-388.
- Khouryieh, H., G. Puli, K. Williams and F. Aramouni (2015). "Effects of xanthan-locust bean gum mixtures on the physicochemical properties and oxidative stability of whey protein stabilised oil-in-water emulsions." *Food chemistry* 167: 340-348.
- Kuhn, K. R., Â. L. F. Cavallieri and R. L. Da Cunha (2010). "Cold-set whey protein gels induced by calcium or sodium salt addition." *International journal of food science & technology* 45(2): 348-357.
- Lee, M. N., H. K. Chan and A. Mohraz (2011). "Characteristics of pickering emulsion gels formed by droplet bridging." *Langmuir* 28(6): 3085-3091.
- Li, C., Y. Li, P. Sun and C. Yang ,2013. "(Pickering emulsions stabilized by native starch granules." *Colloids and Surfaces A: Physicochemical and Engineering Aspects* 431: 142-149.
- Liu, F. and C.-H. Tang (2016). "Soy glycinin as food-grade Pickering stabilizers: Part. I. Structural characteristics, emulsifying properties and adsorption/arrangement at interface." *Food Hydrocolloids* 60: 606-619.
- Liu, F. and C.-H. Tang (2016). "Soy glycinin as food-grade Pickering stabilizers: Part. II. Improvement of emulsification and interfacial adsorption by electrostatic screening." *Food hydrocolloids* 60: 620-630.
- Lo, C. and L. Ramsden (2000). "Effects of xanthan and galactomannan on the freeze/thaw properties of starch gels." *Food/Nahrung* 44(3): 211-214.
- Naji-Tabasi, S., B. Emadzadeh and R. Kadkhodae" (۲۰۱۹). "Effects of pectin and xanthan gum on induced-flocculation phenomenon in an acidic model emulsion system." *Journal of Dispersion Science and Technology* 40(2): 256-263.
- Naji-Tabasi, S. and S. M. A. Razavi (2016). "New studies on basil (*Ocimum bacilicum* L.) seed gum: Part II—Emulsifying and foaming characterization." *Carbohydrate polymers* 149: 140-150.
- Naji-Tabasi, S., & Razavi, S. M. A. (2017). New studies on basil (*Ocimum bacilicum* L.) seed gum: Part III—Steady and dynamic shear rheology. *Food Hydrocolloids*, 67, 243-250.
- Naji-Tabasi, S., S. M. A. Razavi and H. Mehditabar (2017). "Fabrication of basil seed gum nanoparticles as a novel oral delivery system of glutathione." *Carbohydrate polymers* 157: 1703-1713.
- Naji-Tabasi, S., S. M. A. Razavi, M. Mohebbi and B. Malaekheh-Nikouei (2016). "New studies on basil (*Ocimum bacilicum* L.) seed gum: Part I-Fractionation, physicochemical and surface activity characterization." *Food Hydrocolloids* 52: 350-358.
- Nourbehesht, N., Shekarchizadeh, H., & Soltanzadeh, N. (2018). Investigation of stability, consistency, and oil oxidation of emulsion filled gel prepared by inulin and rice bran oil using ultrasonic radiation. *Ultrasonics sonochemistry*, 42: 585-593.
- Orouji, I., Dhanbarzadeh, B., and Danesh, E. (2017). Study of texture and sensory properties of prebiotic cream containing inulin and polydextrose by using response surface methodology. *Journal of food research*, 27(4), 193-207.

- Pawlik, A., D. Kurukji, I. Norton and F. Spyropoulos (2016). "Food-grade Pickering emulsions stabilised with solid lipid particles." *Food & function* 7(6): 2712-2721.
- Piraprez, G., Marie France Hérent and S. Collin (1998). "Determination of the lipophilicity of aroma compounds by RPHPLC." *Flavour and fragrance journal* 400-408.
- Rayner, M., A. Timgren, M. Sjöo and P. Dejmek (2012). "Quinoa starch granules: a candidate for stabilising food-grade Pickering emulsions." *Journal of the Science of Food and Agriculture* 92(9): 1841-1847.
- Sahan, N., K. Yasar and A. Hayaloglu (2008). "Physical, chemical and flavour quality of non-fat yogurt as affected by a β -glucan hydrocolloidal composite during storage." *Food Hydrocolloids* 22(7): 1291-1297.
- Shao, Y. and C.-H. Tang (2016). "Gel-like pea protein Pickering emulsions at pH 3.0 as a potential intestine-targeted and sustained-release delivery system for β -carotene." *Food research international* 79: 64-72.
- Steffe, J. F. (1996). *Rheological methods in food process engineering*, Freeman press.
- Williams, P. D., L. N. Sadar and Y. Martin Lo (2009). "Texture stability of hydrogel complex containing curdlan gum over multiple freeze-thaw cycles." *Journal of Food Processing and Preservation* 33(1): 126-139.
- Wu, M., Xiong, Y. L., & Chen, J. (2011). Rheology and microstructure of myofibrillar protein-plant lipid composite gels: Effect of emulsion droplet size and membrane type. *Journal of food engineering*, 106(4), 318-324.
- Yang, Y., Z. Fang, X. Chen, W. Zhang, Y. Xie, Y. Chen, Z. Liu and W. Yuan (2017). "An overview of Pickering emulsions: solid-particle materials, classification, morphology, and applications." *Frontiers in pharmacology* 8: 287.

Preparation of cold gel emulsion system using isolated soy protein- Basil seed gum complex as a fat replacement in cream

S. Naji-Tabasi¹, E. Mahdian¹, A. Arianfar¹, Sara Naji-Tabasi^{2*}

Received: 2020.04.06

Accepted: 2020.07.18

Introduction: Fats have a special place in human nutrition and their main role is supplying energy for the body. But scientific findings approve an association between high fat intake and an increment risk of some diseases, such as atherosclerosis, heart disease, and Demand for low-fat foods has increased dramatically as people become more aware of fat consumption side effects. However, due to the multiple role of fats in food products, eliminating or decreasing fat lead to poor quality of products. Therefore, it is necessary to use a combination of fat substitutes to maintain the rheological, texture and sensory properties of the low fat food products. The use of emulsion gel structures are new methods for the production of low-fat product that has been studied in this investigation. The Pickering emulsion was used to produce the emulsion. In this method, instead of using surface-active agents, solid particles are used to stabilize the emulsion. The aim of this study was to prepare Pickering Emulsion from Isolated Soybean protein (ISP) and Basil Seed Gum (ISP-BSG) Complex. Finally, emulsion gel systems were applied as fat substitutes in cream.

Materials and Methods: Basil seeds were purchased from Mashhad market. Isolated soy protein was purchased from Shandong Yuxin Bio-Tech Co. (China). Sodium azide was purchased from Applichem Inc. (Dramstadt, Germany). Sodium dodecyl sulphate (SDS) was obtained from Merck, Germany. Pickering (solid particles) of soy protein isolate (SPI) and SPI-basil seed gum (ISP-BSG) complex used as emulsifier for stabilization of cold emulsion. ISP-BSG particles were prepared with different mass ratios of ISP: BSG, 1: 0, 1: 1, 2: 1 and 3: 1 and named 1S: 0B, 1S: 1B, 2S: 1B and 3S: 1B, respectively. These solid particles were used as Pickering for emulsion preparation. Cold Emulsion was prepared by adding calcium chloride. The oil leakage, oil leakage after thermal treatments, microscopic structure, textural properties and viscoelastic properties of emulsion gel were studied. Then, the best structures used as a fat substitute in cream (5, 10 and 15%).

Results & Discussion: Investigation of emulsion gel properties showed that coating the surface of emulsion droplets with solid nanoparticles formed a rigid shell that acted as a barrier against the deformation and transfer of materials from the interfacial surface. The use of ISP-BSG nanoparticles as picking particles caused more homogeneity and stiffness in emulsion gel structure. The rate of water loss in reduced fat cream was in the range of 1-2% by using the emulsion-gel system, which indicates the effectiveness of these systems in reducing dehydration in cream. The increasing replacement percentages led to increase water loss ($p < 0.05$). However, emulsion type had no significant effect on water loss content ($p > 0.05$). According to the results, ISP-BSG nanoparticles impart high potential to stabilize emulsion with small oil droplets. Based on the results of the sensory test, it was found that the characteristics of the cream samples depended more on the replacement rate than the type of system used as an alternative. The presence of a fat replacement system maintained the desired quality in low-fat cream samples. Most of the samples scored higher than 3, which indicate the high acceptance of low-fat samples.

Keywords: Basil seed gum, Complex, Emulsion gel, Fat replacement, Soy protein isolate, Solid particles.

1. Department of Food Science and Technology, Quchan Branch, Islamic Azad University, Quchan, Iran.

2. Department of Food Nanotechnology, Research Institute of Food Science and Technology (RIFST) PO Box, 91895-157.356, Mashhad, Iran

(*Corresponding Author Email: s.najitabasi@rifst.ac.ir)